

Starkniederschlagshöhen und -spenden gemäß KOSTRA-DWD-2010R

Auswertungszeitraum von 1951 - 2010, Januar - Dezember

Rasterfeld: 44041

Zeile: 44

Spalte: 41

Seite: 1/2

| Dauerstufe D | Wiederkehrzeit T | | | | | | | | | | | | | | | | | | |
|--------------|------------------|------|------------|------|------------|------|------------|------|------------|------|------------|-------|------------|-------|------------|-------|------------|-------|------------|
| | 1 a | | 2 a | | 3 a | | 5 a | | 10 a | | 20 a | | 30 a | | 50 a | | 100 a | | |
| min | Std | mm | l / (s ha) | mm | l / (s ha) | mm | l / (s ha) | mm | l / (s ha) | mm | l / (s ha) | mm | l / (s ha) | mm | l / (s ha) | mm | l / (s ha) | mm | l / (s ha) |
| 5 | | 6,0 | 200,0 | 8,1 | 270,0 | 9,3 | 310,0 | 10,9 | 363,3 | 13,0 | 433,3 | 15,1 | 503,3 | 16,3 | 543,3 | 17,8 | 593,3 | 19,9 | 663,3 |
| 10 | | 9,2 | 153,3 | 12,1 | 201,7 | 13,7 | 228,3 | 15,8 | 263,3 | 18,6 | 310,0 | 21,5 | 358,3 | 23,1 | 385,0 | 25,2 | 420,0 | 28,1 | 468,3 |
| 15 | | 11,2 | 124,4 | 14,6 | 162,2 | 16,6 | 184,4 | 19,1 | 212,2 | 22,5 | 250,0 | 25,8 | 286,7 | 27,8 | 308,9 | 30,3 | 336,7 | 33,7 | 374,4 |
| 20 | | 12,5 | 104,2 | 16,4 | 136,7 | 18,6 | 155,0 | 21,5 | 179,2 | 25,3 | 210,8 | 29,1 | 242,5 | 31,4 | 261,7 | 34,2 | 285,0 | 38,1 | 317,5 |
| 30 | | 14,3 | 79,4 | 18,8 | 104,4 | 21,5 | 119,4 | 24,9 | 138,3 | 29,5 | 163,9 | 34,1 | 189,4 | 36,8 | 204,4 | 40,1 | 222,8 | 44,7 | 248,3 |
| 45 | | 15,7 | 58,1 | 21,2 | 78,5 | 24,4 | 90,4 | 28,4 | 105,2 | 33,9 | 125,6 | 39,4 | 145,9 | 42,6 | 157,8 | 46,6 | 172,6 | 52,1 | 193,0 |
| 60 | | 16,5 | 45,8 | 22,7 | 63,1 | 26,4 | 73,3 | 30,9 | 85,8 | 37,2 | 103,3 | 43,4 | 120,6 | 47,0 | 130,6 | 51,6 | 143,3 | 57,8 | 160,6 |
| 90 | | 18,5 | 34,3 | 25,2 | 46,7 | 29,1 | 53,9 | 34,0 | 63,0 | 40,7 | 75,4 | 47,4 | 87,8 | 51,4 | 95,2 | 56,3 | 104,3 | 63,0 | 116,7 |
| 120 | 2 | 20,0 | 27,8 | 27,1 | 37,6 | 31,2 | 43,3 | 36,4 | 50,6 | 43,5 | 60,4 | 50,6 | 70,3 | 54,7 | 76,0 | 59,9 | 83,2 | 67,0 | 93,1 |
| 180 | 3 | 22,4 | 20,7 | 30,0 | 27,8 | 34,4 | 31,9 | 40,1 | 37,1 | 47,7 | 44,2 | 55,3 | 51,2 | 59,8 | 55,4 | 65,4 | 60,6 | 73,1 | 67,7 |
| 240 | 4 | 24,2 | 16,8 | 32,3 | 22,4 | 37,0 | 25,7 | 42,9 | 29,8 | 51,0 | 35,4 | 59,0 | 41,0 | 63,7 | 44,2 | 69,7 | 48,4 | 77,7 | 54,0 |
| 360 | 6 | 27,1 | 12,5 | 35,8 | 16,6 | 40,8 | 18,9 | 47,2 | 21,9 | 55,9 | 25,9 | 64,6 | 29,9 | 69,7 | 32,3 | 76,1 | 35,2 | 84,8 | 39,3 |
| 540 | 9 | 30,3 | 9,4 | 39,6 | 12,2 | 45,1 | 13,9 | 52,0 | 16,0 | 61,4 | 19,0 | 70,8 | 21,9 | 76,3 | 23,5 | 83,2 | 25,7 | 92,5 | 28,5 |
| 720 | 12 | 32,8 | 7,6 | 42,7 | 9,9 | 48,5 | 11,2 | 55,7 | 12,9 | 65,6 | 15,2 | 75,5 | 17,5 | 81,3 | 18,8 | 88,6 | 20,5 | 98,5 | 22,8 |
| 1080 | 18 | 36,7 | 5,7 | 47,3 | 7,3 | 53,6 | 8,3 | 61,4 | 9,5 | 72,1 | 11,1 | 82,8 | 12,8 | 89,0 | 13,7 | 96,9 | 15,0 | 107,6 | 16,6 |
| 1440 | 24 | 39,7 | 4,6 | 51,0 | 5,9 | 57,5 | 6,7 | 65,8 | 7,6 | 77,1 | 8,9 | 88,4 | 10,2 | 94,9 | 11,0 | 103,2 | 11,9 | 114,5 | 13,3 |
| 2880 | 48 | 47,5 | 2,7 | 60,0 | 3,5 | 67,3 | 3,9 | 76,4 | 4,4 | 88,9 | 5,1 | 101,3 | 5,9 | 108,6 | 6,3 | 117,8 | 6,8 | 130,2 | 7,5 |
| 4320 | 72 | 52,8 | 2,0 | 65,9 | 2,5 | 73,6 | 2,8 | 83,3 | 3,2 | 96,4 | 3,7 | 109,6 | 4,2 | 117,3 | 4,5 | 127,0 | 4,9 | 140,1 | 5,4 |

Angaben in mm: Bemessungsniederschlagswerte h(n)

Angaben in l / (s ha): Regenspende R(n) mit $R(n) = h(n) \times 1,666667 / D[\text{min}]$

Toleranzbereiche:

+/- 10 % für $1 a \leq T \leq 5 a$

+/- 15 % für $5 a < T \leq 50 a$

+/- 20 % für $50 a < T \leq 100 a$

Datenbasis: KOSTRA-DWD-2010R des Deutschen Wetterdienstes. Die Regenspende wurde auf Basis des Bemessungsniederschlags zur jeweiligen Andauer berechnet.

Für die Richtigkeit und Aktualität der Angaben wird keine Gewähr übernommen. Erstellt 07/2022.

Starkniederschlagshöhen und -spenden gemäß KOSTRA-DWD-2010R

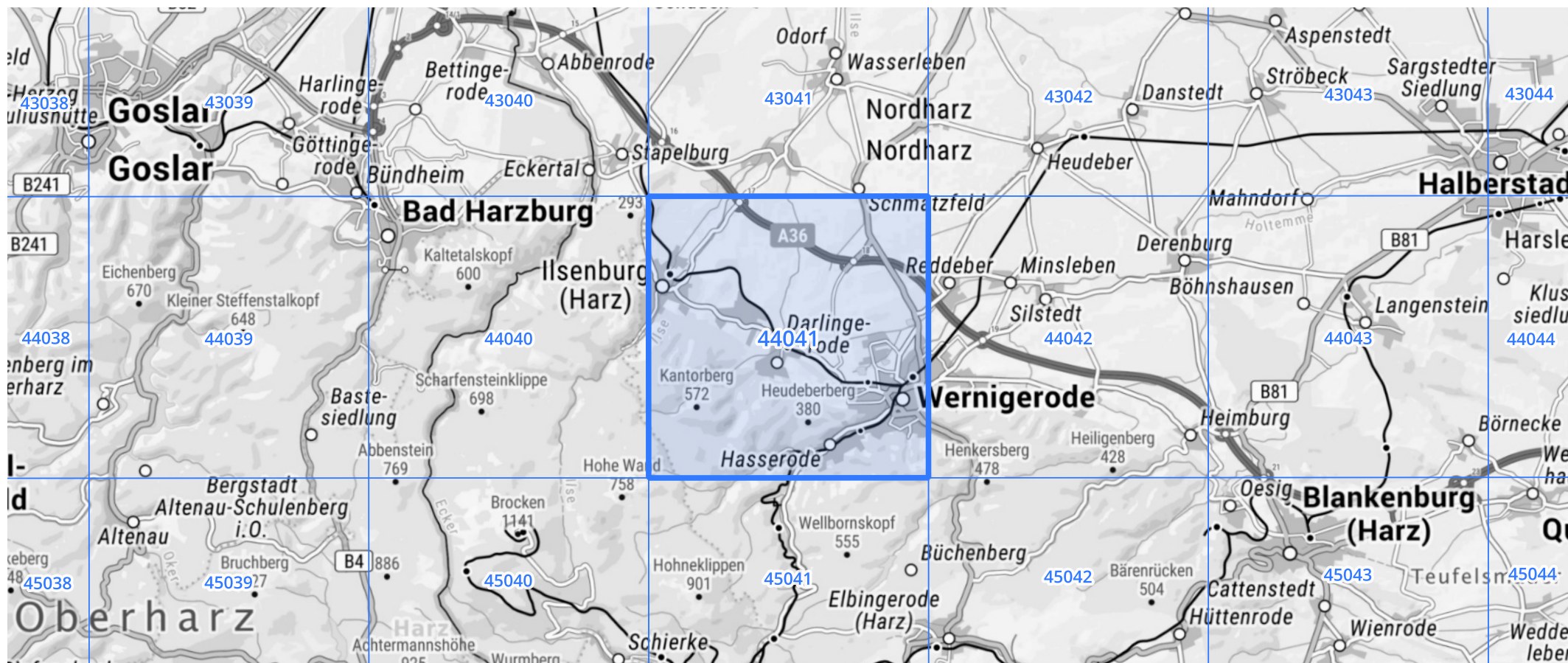
Auswertungszeitraum von 1951 - 2010, Januar - Dezember

Rasterfeld: 44041

Zeile: 44

Spalte: 41

Seite: 2/2



Quelle Rasterdaten: KOSTRA-DWD-2010R des Deutschen Wetterdienstes.

Kartendarstellung: © Bundesamt für Kartographie und Geodäsie (2022), Datenquellen: https://sgx.geodatenzentrum.de/web_public/gdz/datenquellen/Datenquellen_TopPlusOpen.html

Für die Richtigkeit und Aktualität der Angaben wird keine Gewähr übernommen. Erstellt 07/2022.